

- はじめに
- LEGO 倒立振子の製作
- PID 制御の学習
- モデリングの学習
- 現代制御の学習
- **アドバンスト制御の学習**
- まとめ

# アドバンスト制御の学習

- ▶ 外乱オブザーバ
- ▶ FRIT によるデータ駆動制御
- ▶ 量子化制御

学習できる  
内容の一例



# アドバンスト制御の学習

- ▶ 外乱オブザーバ
- ▶ FRIT によるデータ駆動制御
- ▶ 量子化制御



## ▶ 外乱オブザーバ

### 制御対象

$$\begin{bmatrix} \dot{\xi}_1 \\ \dot{\xi}_2 \end{bmatrix} = \begin{bmatrix} A_{11} & A_{12} \\ A_{21} & A_{22} \end{bmatrix} \begin{bmatrix} \xi_1 \\ \xi_2 \end{bmatrix} + \begin{bmatrix} B_1 \\ B_2 \end{bmatrix} v$$
$$\eta = \begin{bmatrix} 1 & 0 \end{bmatrix} \begin{bmatrix} \xi_1 \\ \xi_2 \end{bmatrix} (= \xi_1) \quad \dots\dots \text{観測量}$$

$$\xi = \begin{bmatrix} \xi_1 \\ \xi_2 \end{bmatrix} \quad \begin{array}{l} \dots\dots \text{観測可} \\ \dots\dots \text{観測不可} \end{array}$$

### 最小次元オブザーバ (Gopinath 形式)

$$\begin{cases} \dot{\hat{\eta}} = A_{11}\eta + A_{12}\hat{\xi}_2 + B_1v \\ \dot{\hat{\xi}}_2 = A_{21}\eta + A_{22}\hat{\xi}_2 + B_2v - G(\dot{\eta} - \dot{\hat{\eta}}) \end{cases}$$

$\hat{\xi}_2$  :  $\xi_2$  の推定値

$G$  : オブザーバゲイン

# ▶ 外乱オブザーバ

## アーム駆動系

$$\begin{bmatrix} \dot{\omega}_1 \\ \dot{d} \end{bmatrix} = \begin{bmatrix} -a & -1 \\ 0 & 0 \end{bmatrix} \begin{bmatrix} \omega_1 \\ d \end{bmatrix} + \begin{bmatrix} b \\ 0 \end{bmatrix} v$$

$$\eta = \begin{bmatrix} 1 & 0 \end{bmatrix} \begin{bmatrix} \omega_1 \\ d \end{bmatrix} (= \omega_1) \dots\dots \text{観測量}$$

$$\xi = \begin{bmatrix} \omega_1 \\ d \end{bmatrix} \dots\dots \begin{matrix} \text{観測可} \\ \text{観測不可} \end{matrix}$$

$$\dot{\omega}_1 + a\omega_1 = bv - d$$

$$\omega_1 := \dot{\theta}_1$$

$$\ddot{\theta}_1 + a\dot{\theta}_1 = bv - d$$

## 外乱オブザーバ

$$\begin{cases} \dot{\hat{\omega}}_1 = -a\omega_1 - 1 \cdot \hat{d} + bv \\ \dot{\hat{d}} = 0 \cdot \omega_1 + 0 \cdot \hat{d} + 0 \cdot v - G(\dot{\omega}_1 - \dot{\hat{\omega}}_1) \end{cases}$$

$$\hat{d} = \frac{1}{1 + Ts} \{ - (s + a)\omega_1 + bv \}, \quad T = \frac{1}{G}$$

# ▶ 外乱オブザーバ

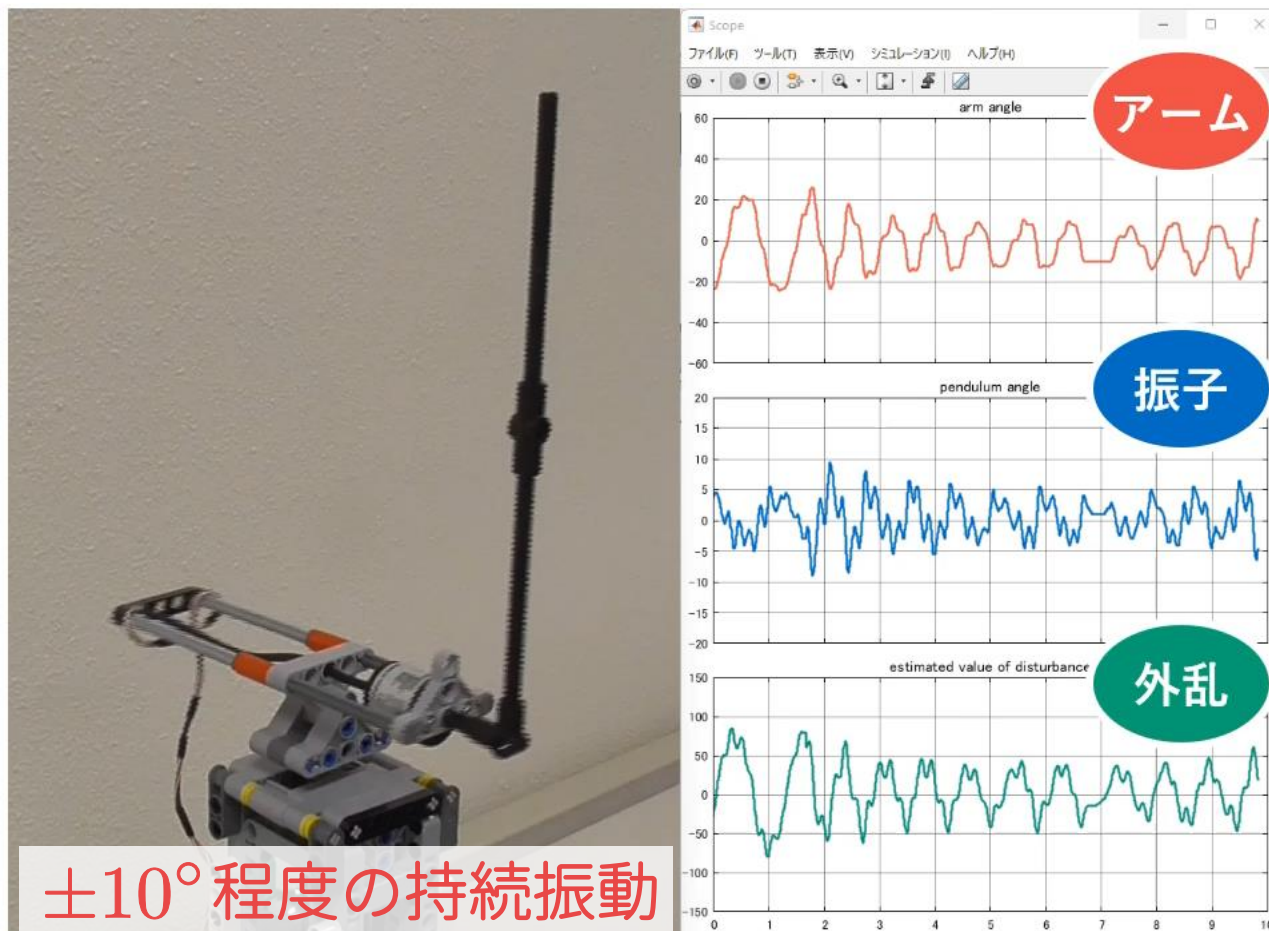
$$v = Kx$$

外乱オブザーバによる補償なし



$$v = u + \frac{1}{b} \hat{d}, \quad u = Kx$$

外乱オブザーバによる補償あり



# アドバンスト制御の学習

- ▶ 外乱オブザーバ
- ▶ **FRIT によるデータ駆動制御**
- ▶ 量子化制御



# ▶ FRIT によるデータ駆動制御

## 回転型倒立振子の状態方程式

$$\dot{x} = Ax + Bv \quad \dots\dots \text{ノミナルモデル}$$

金子ら：Trans. of SICE,  
Vol. 49, No. 6, pp. 632-638 (2013)

## コントローラ

$$v = K_0 x$$

## ステップ 1

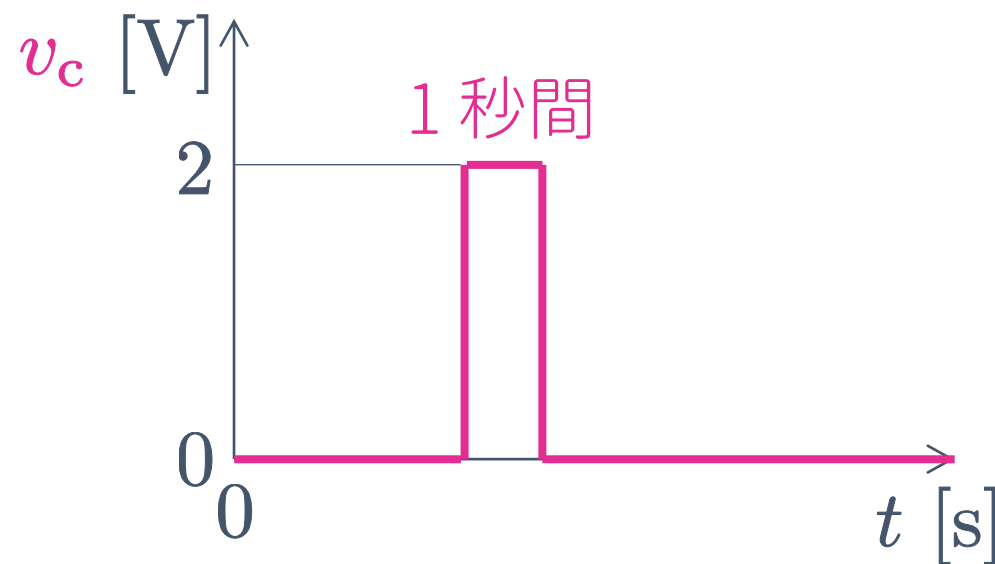
**パルス外乱**を加えたコントローラ

$$v = K_0 x + v_c$$

を用いた**予備実験**を行い、**制御入力**および**状態変数**の**実験データ**

$$v_0[n] = v[n], \quad x_0[n] = x[n]$$

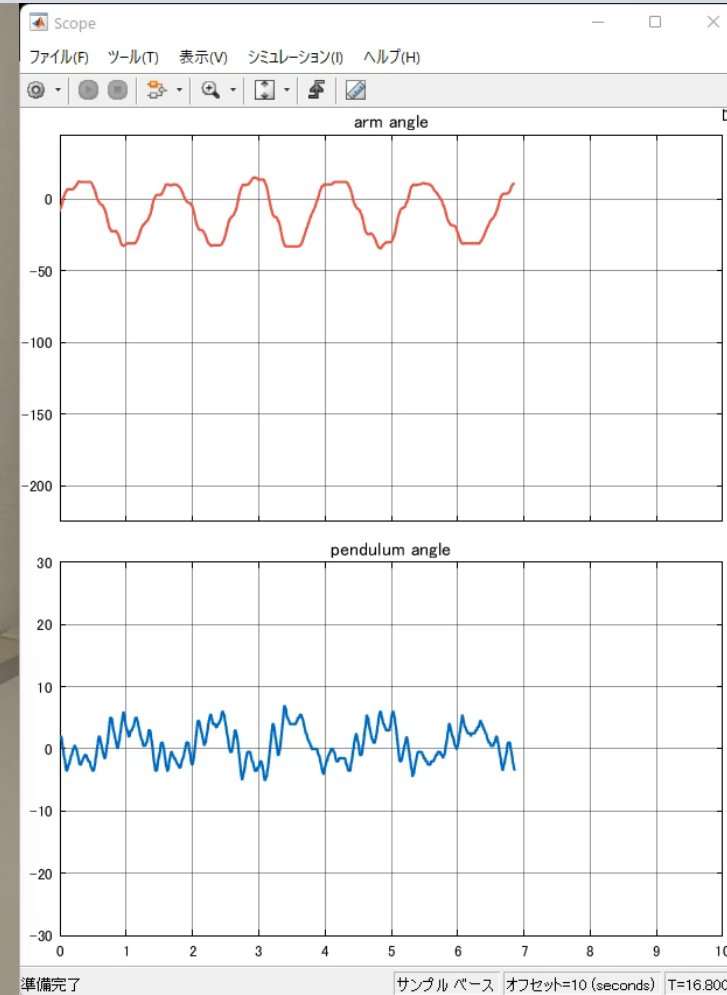
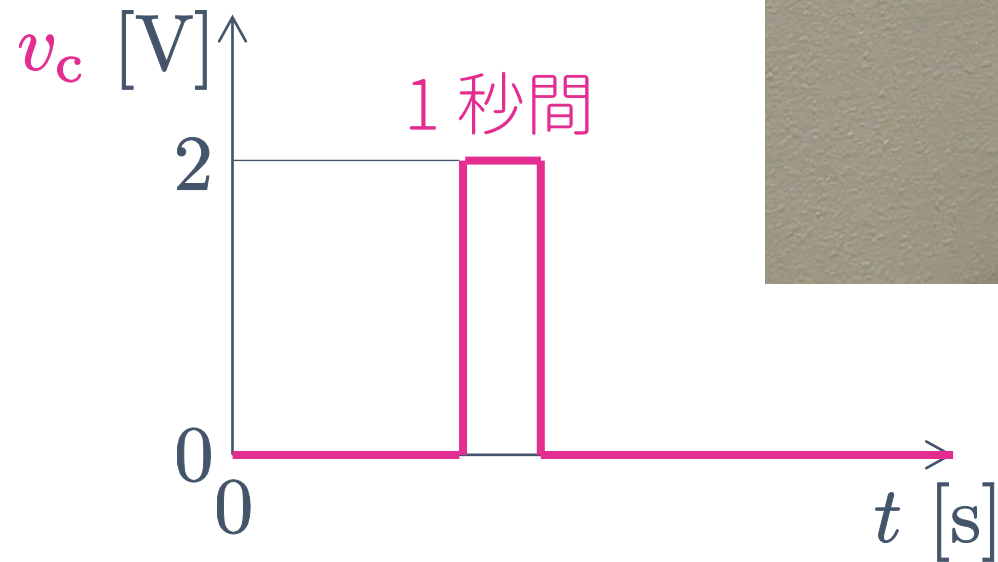
を取得





# ▶ FRIT によるデータ駆動制御

## ステップ1



# ▶ FRIT によるデータ駆動制御

## ステップ 2

評価関数が

$$E = \sum_{n=1}^k e[n]^T e[n]$$

→ min

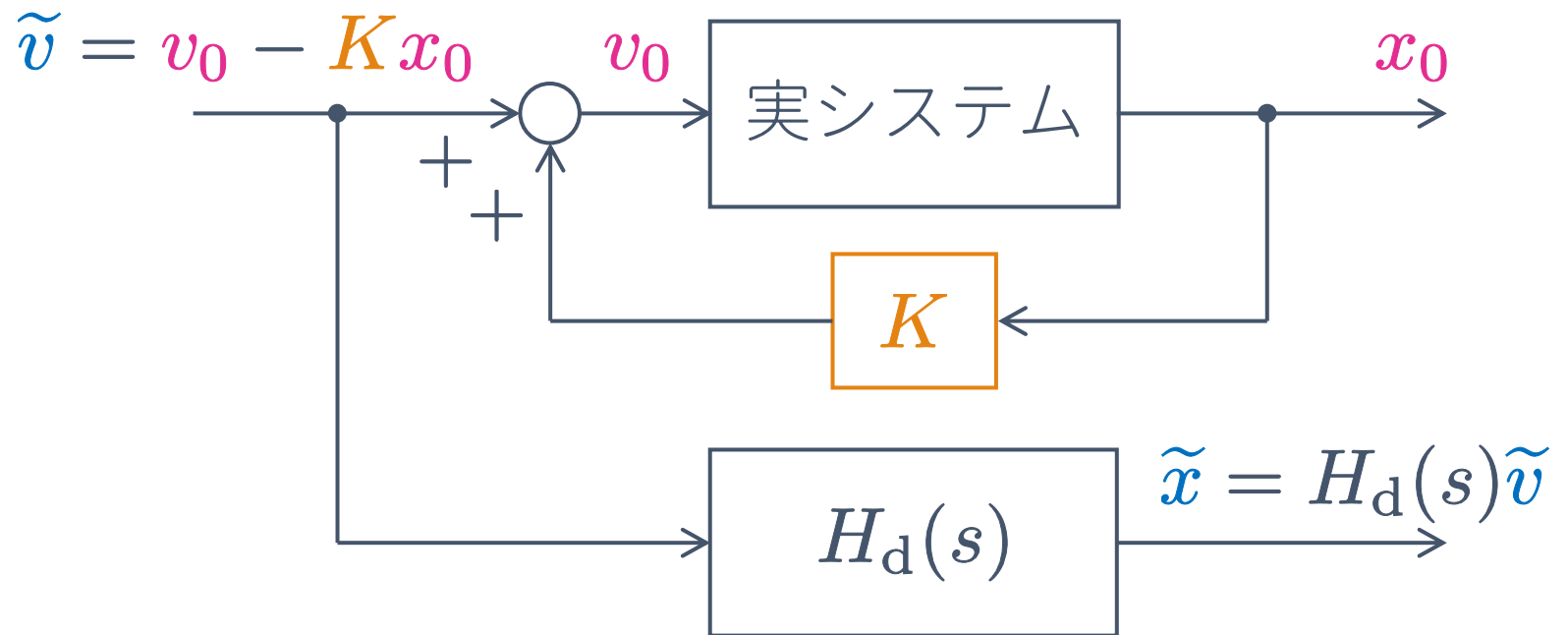
$$e[n] = x_0[n] - \tilde{x}[n]$$

となるように**ゲイン**

$$K := K_{\text{FRIT}}$$

を決定 …… **最小 2 乗法**

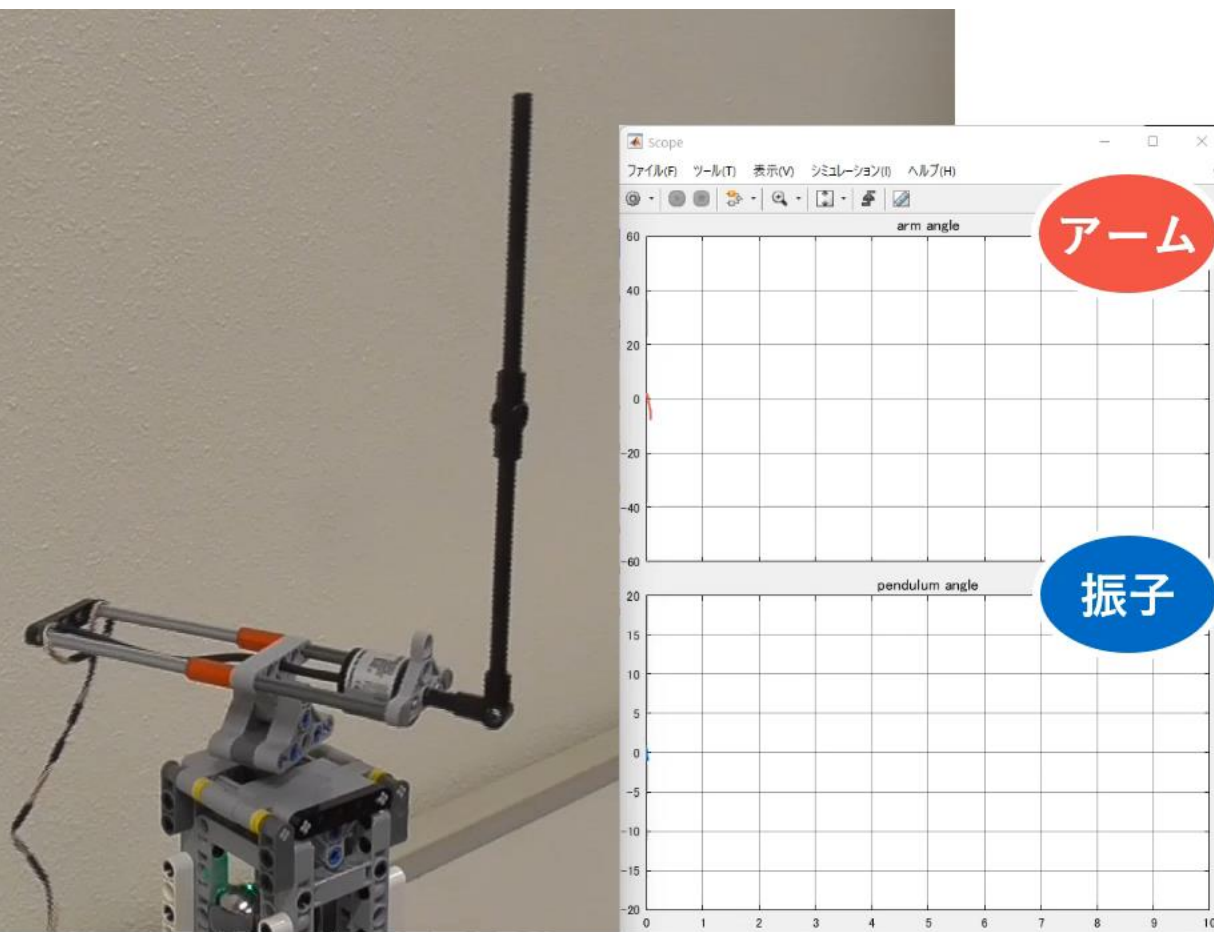
### 擬似外生信号



$$H_d(s) = \{sI - (A + BK_0)\}^{-1} B$$

# ▶ FRIT によるデータ駆動制御

## 最適レギュレータ (LQR)

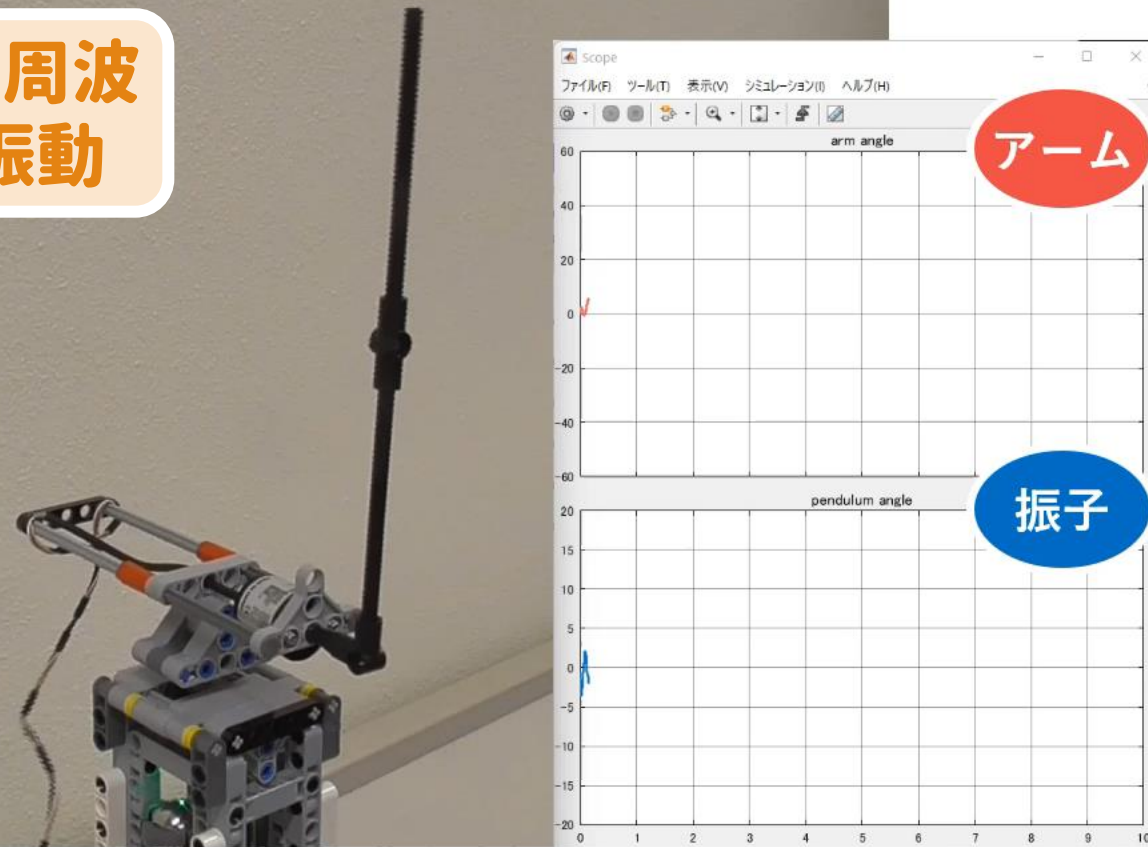


ハイ  
ゲイン

高周波  
振動

FRIT

低周波振動  
抑制



$$K_0 = \begin{bmatrix} 0.7071 & 0.6013 & 12.7347 & 1.3278 \end{bmatrix} \quad K_{\text{FRIT}} = \begin{bmatrix} 1.3898 & 0.9032 & 21.9858 & 1.6673 \end{bmatrix}$$

## ▶ FRIT によるデータ駆動制御 …… LPF の時定数も調整

$$x_0 = \begin{bmatrix} \theta_1 \\ \omega_{f,1} \\ \theta_2 \\ \omega_{f,2} \end{bmatrix} \quad \begin{array}{l} \cdots \cdots \text{エンコーダで検出} \\ \cdots \cdots \text{不完全微分 (後退差分近似 + \textbf{LPF}) により算出} \\ \cdots \cdots \text{エンコーダで検出} \\ \cdots \cdots \text{不完全微分 (後退差分近似 + \textbf{LPF}) により算出} \end{array}$$
$$\omega_{f,i} = \frac{s}{1 + T_{f,i}s} \theta_i$$

数値シミュレーションを行い、  
**差分進化 (DE)** により **評価関数** が

$$E = \sum_{n=1}^k e[n]^\top e[n] \rightarrow \min$$
$$e[n] = x_0[n] - \tilde{x}[n]$$

となるように **ゲイン** および  
**LPF の時定数**

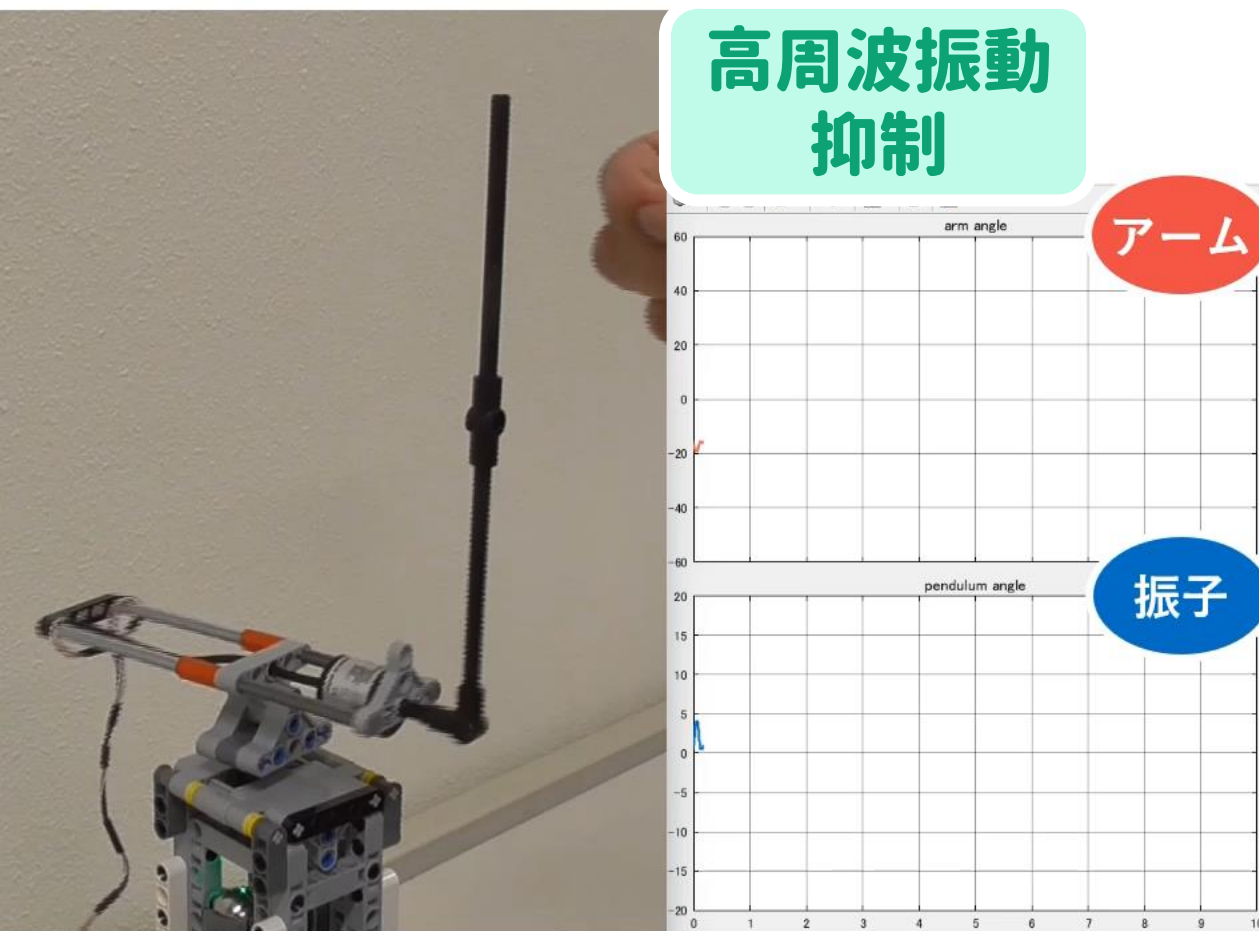
$$K := K_{\text{FRIT}}, T_{f,i}$$

を決定



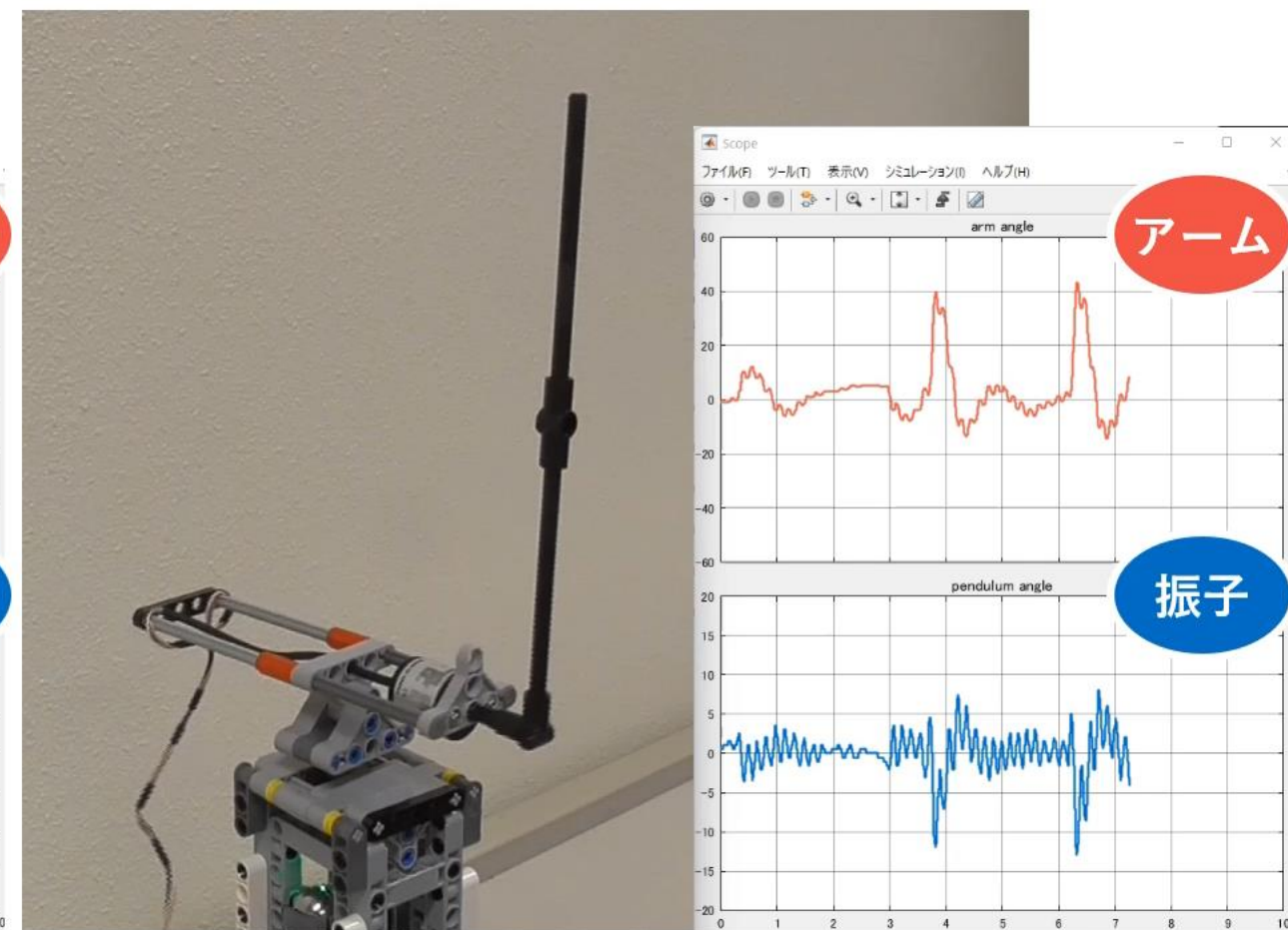
# ▶ FRIT によるデータ駆動制御 …… LPF の時定数も調整

## FRIT (LPF : 時定数の調整あり)



$$K_{\text{FRIT}} = \begin{bmatrix} 1.3755 & 0.9334 & 24.3330 & 1.2253 \end{bmatrix}$$
$$T_{f,1} = 0.1218, T_{f,2} = 0.1163$$

## FRIT (LPF : 時定数の調整なし)

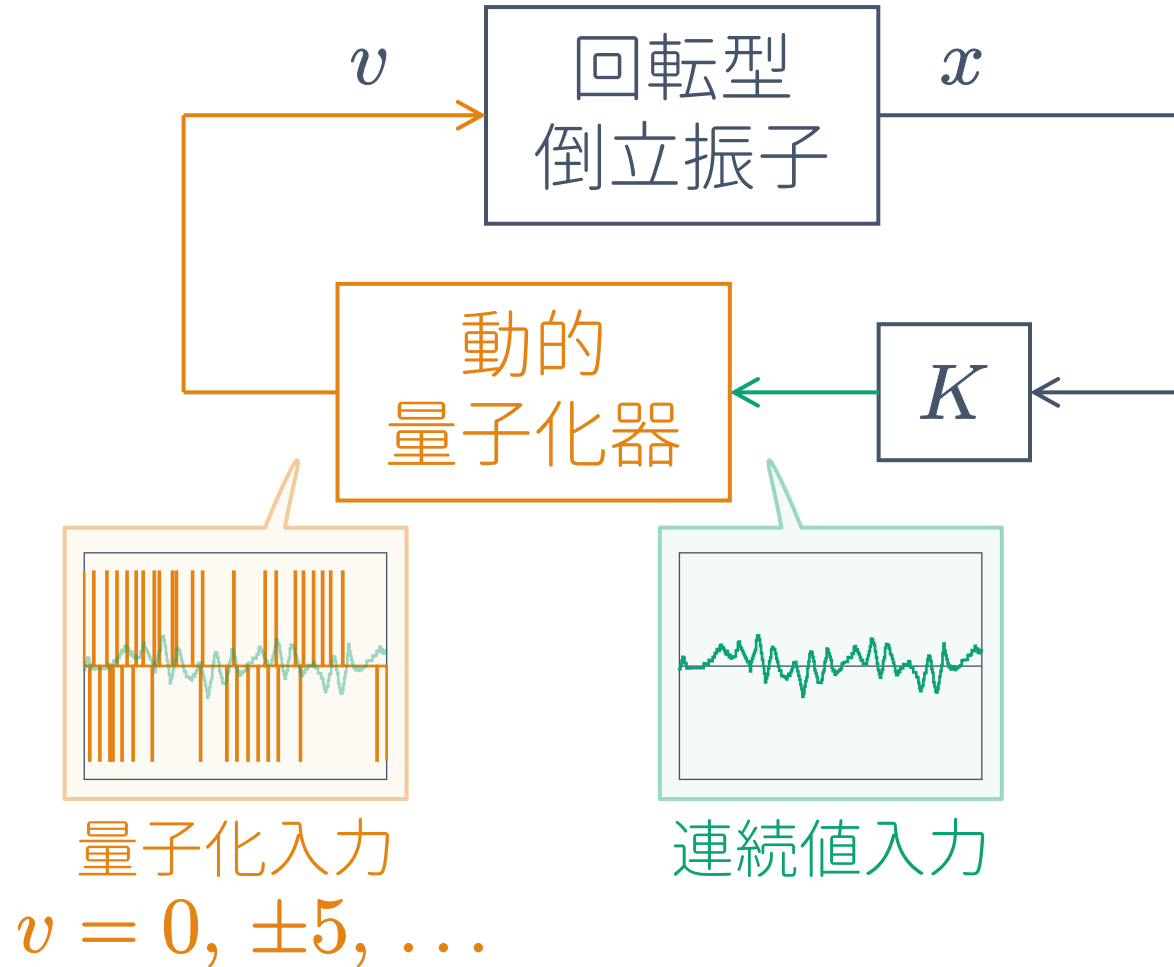


$$K_{\text{FRIT}} = \begin{bmatrix} 1.3898 & 0.9032 & 21.9858 & 1.6673 \end{bmatrix}$$
$$T_{f,1} = T_{f,2} = 0.08$$

# アドバンスト制御の学習

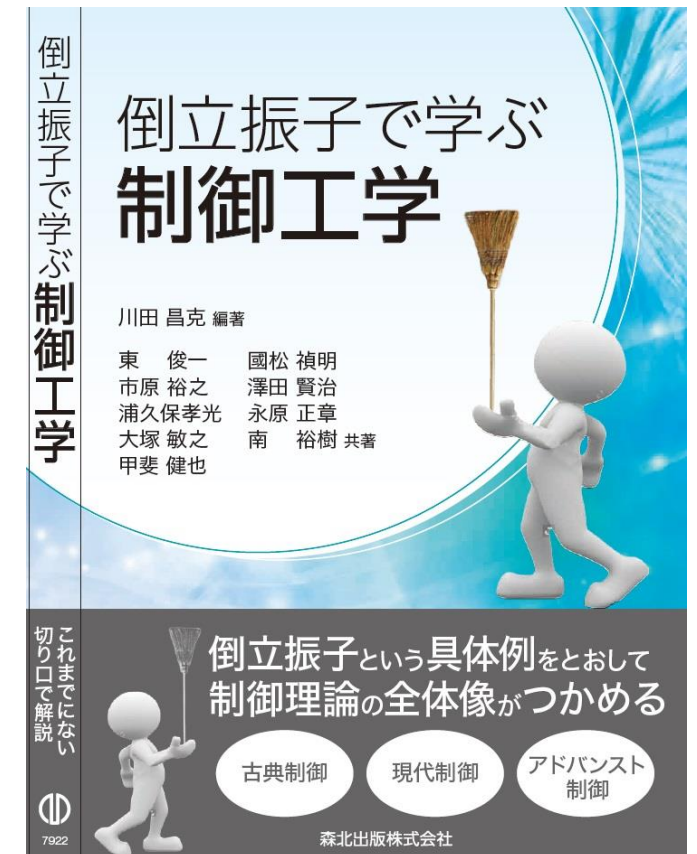
- ▶ 外乱オブザーバ
- ▶ FRIT によるデータ駆動制御
- ▶ **量子化制御**

# ▶ 量子化制御



東, 杉江 : ISCIE,  
Vol.20, No.3, pp. 122-129 (2007)

東, 森田, 南, 杉江 : ISCIE,  
Vol.21, No.12, pp. 408-416 (2008)

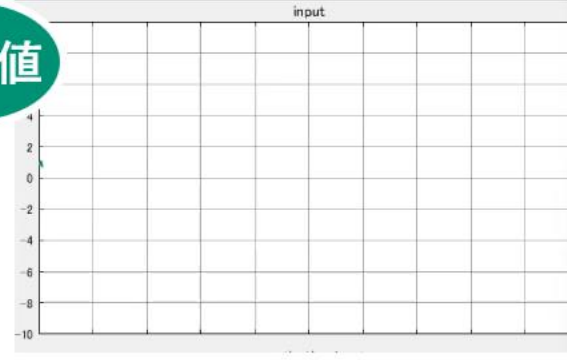


応用編：第2章

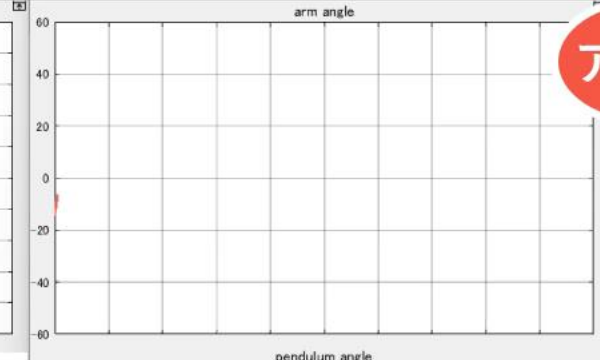
LQR



連続値



アーム



振り子

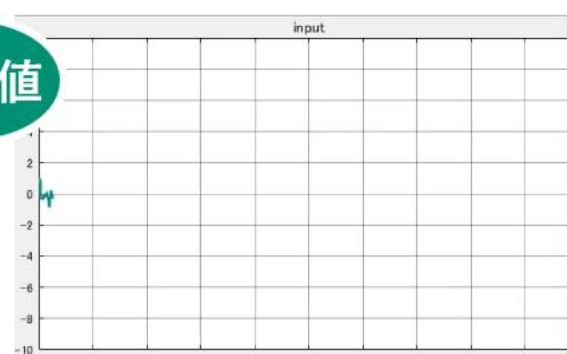


準備完了 サンプル ベース オフセット=10 (seconds) T=19.980

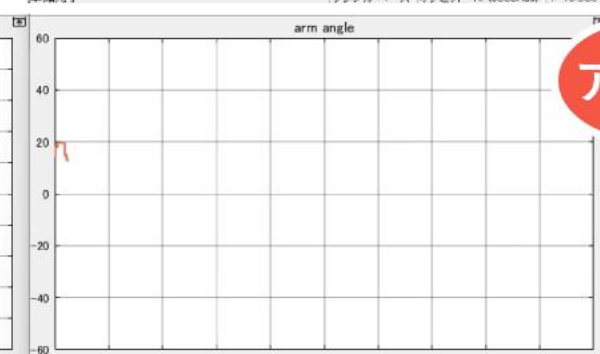
量子化制御



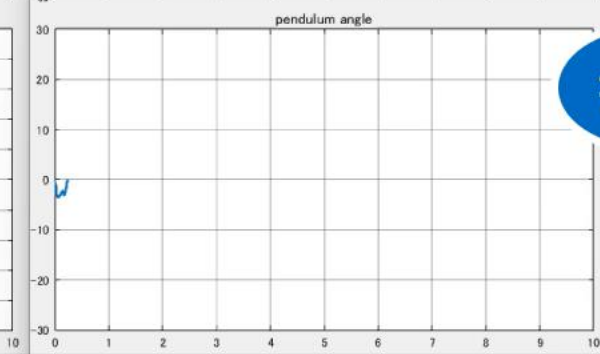
連続値



アーム

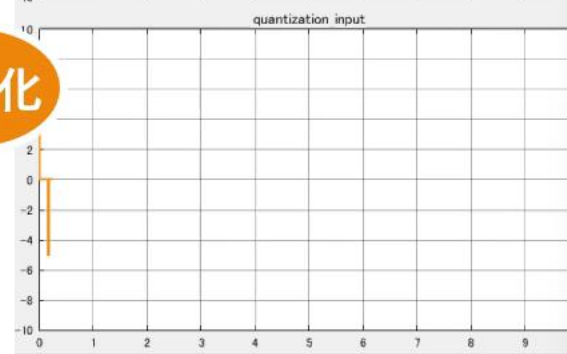


振り子



準備完了 サンプル ベース オフセット=30 (seconds) T=39.540

量子化



実行中 サンプル ベース オフセット=30 (seconds) T=39.540



# アドバンスト制御の学習

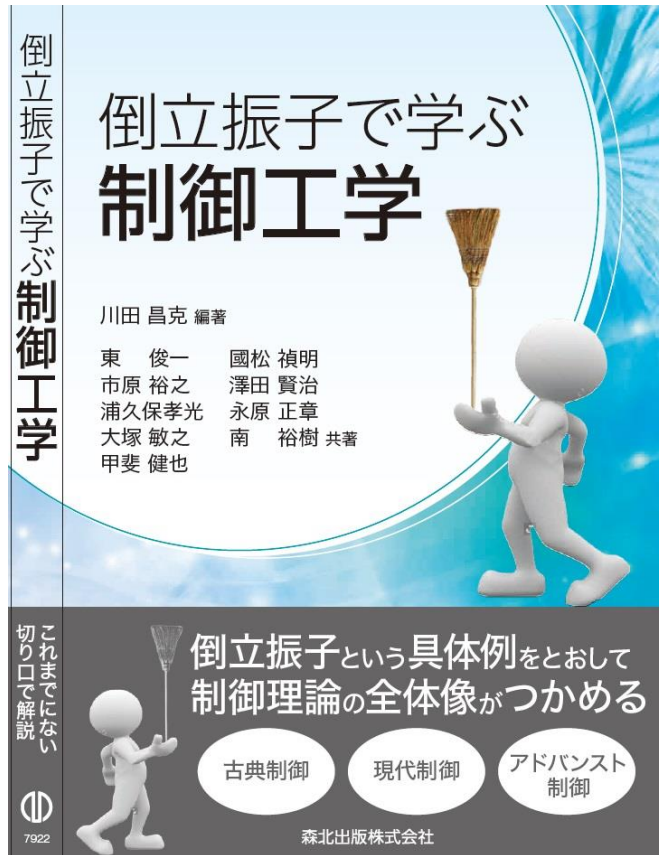
- ▶ 外乱オブザーバ
- ▶ FRIT によるデータ駆動制御
- ▶ 量子化制御
- ▶ **エネルギー法による振り上げ安定化制御**

# ▶ エネルギー法による振り上げ安定化制御

応用編：第3章 非線形制御

## 3.2.1 エネルギー法

Simulink の分岐処理を利用して  
『回転型 LEGO 倒立振子』を  
振り上げ安定化！



# ▶ エネルギー法による振り上げ安定化制御

振子が真下にある状態

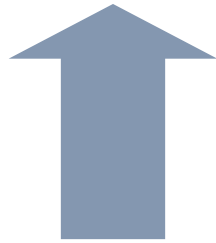
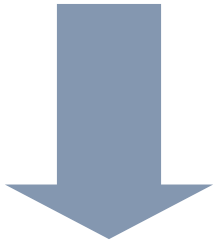


トリガを入れて振子を動かす



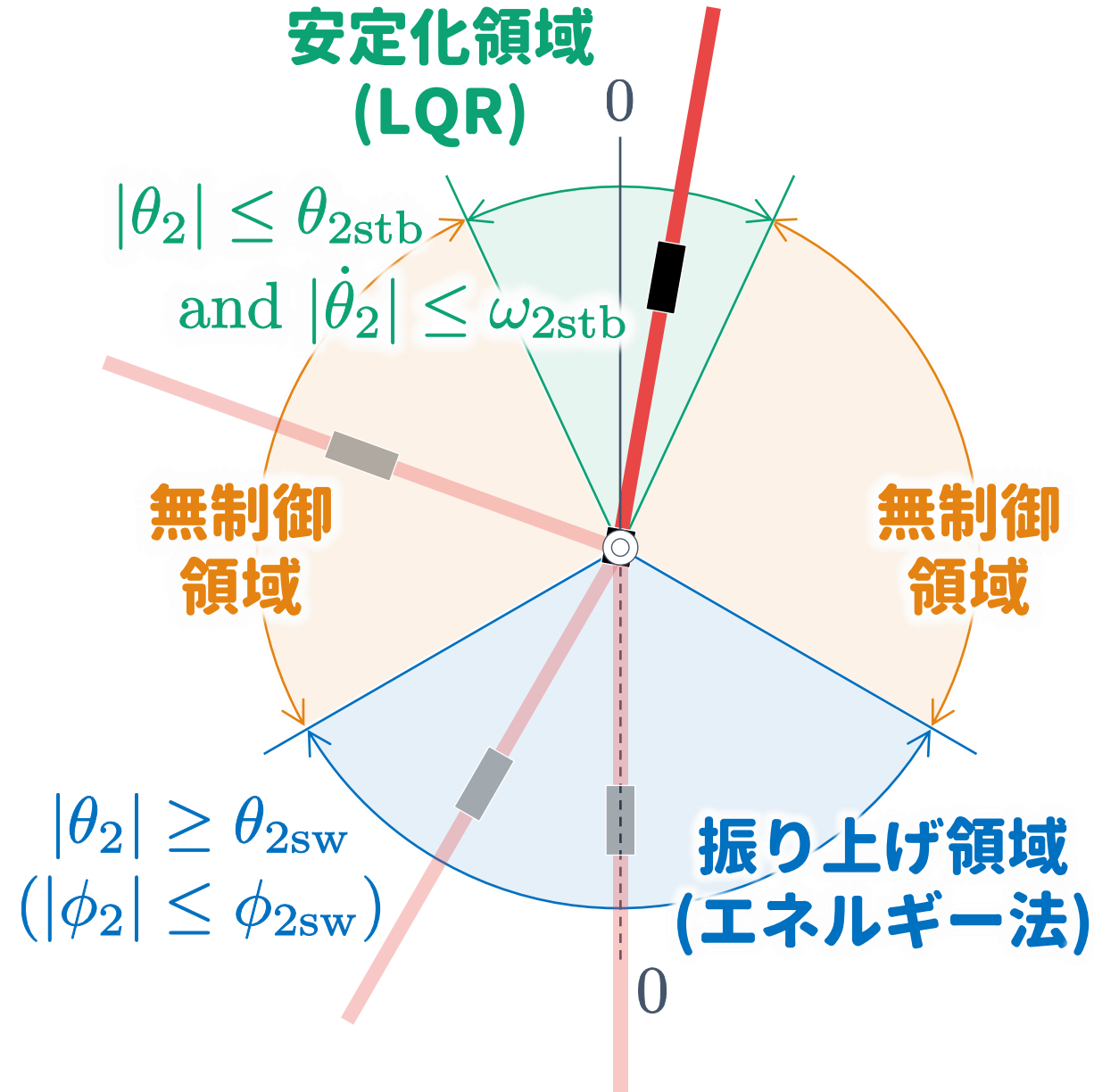
振子の力学的エネルギーが増大  
するように指令電圧を加える

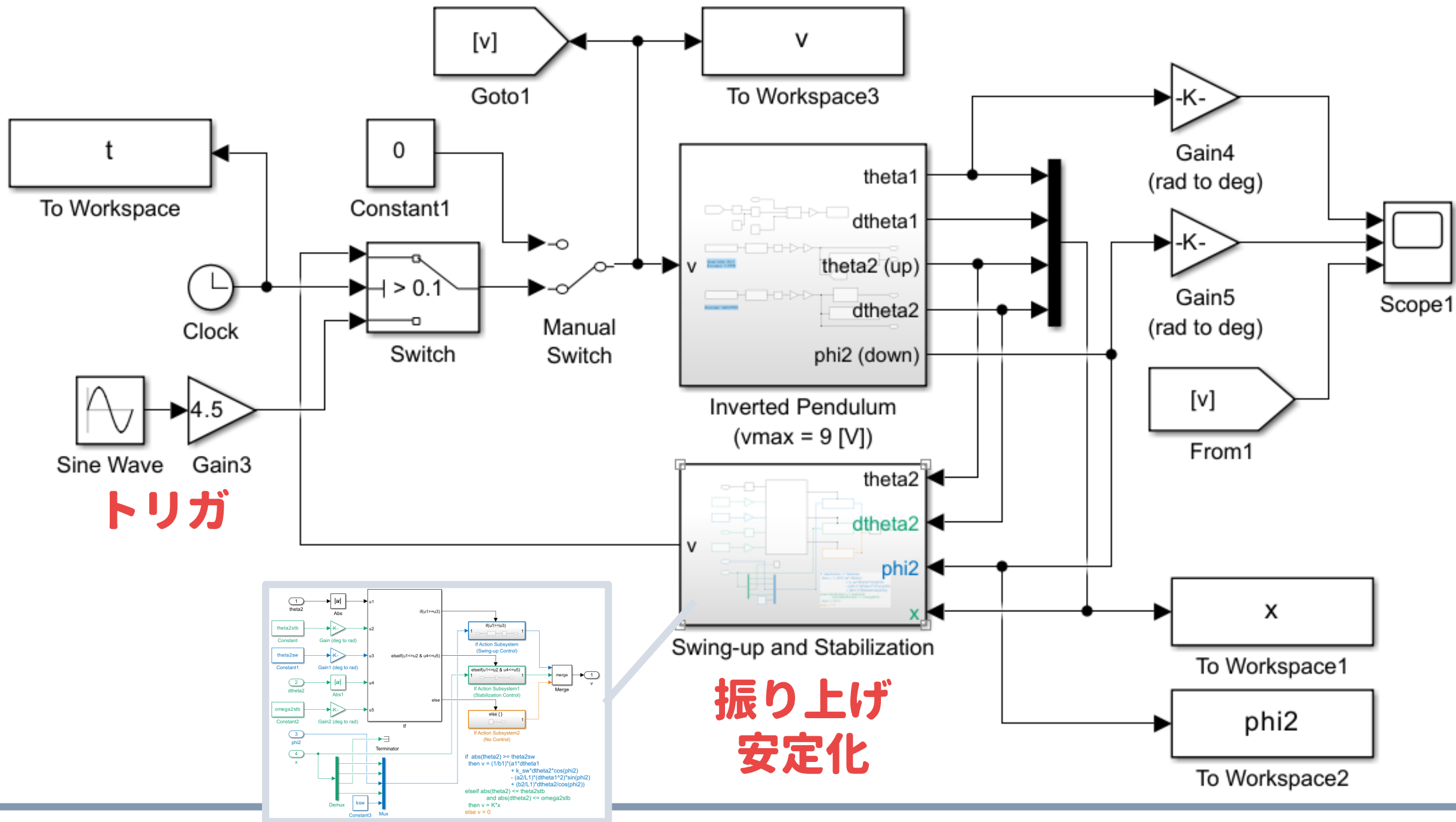
無制御

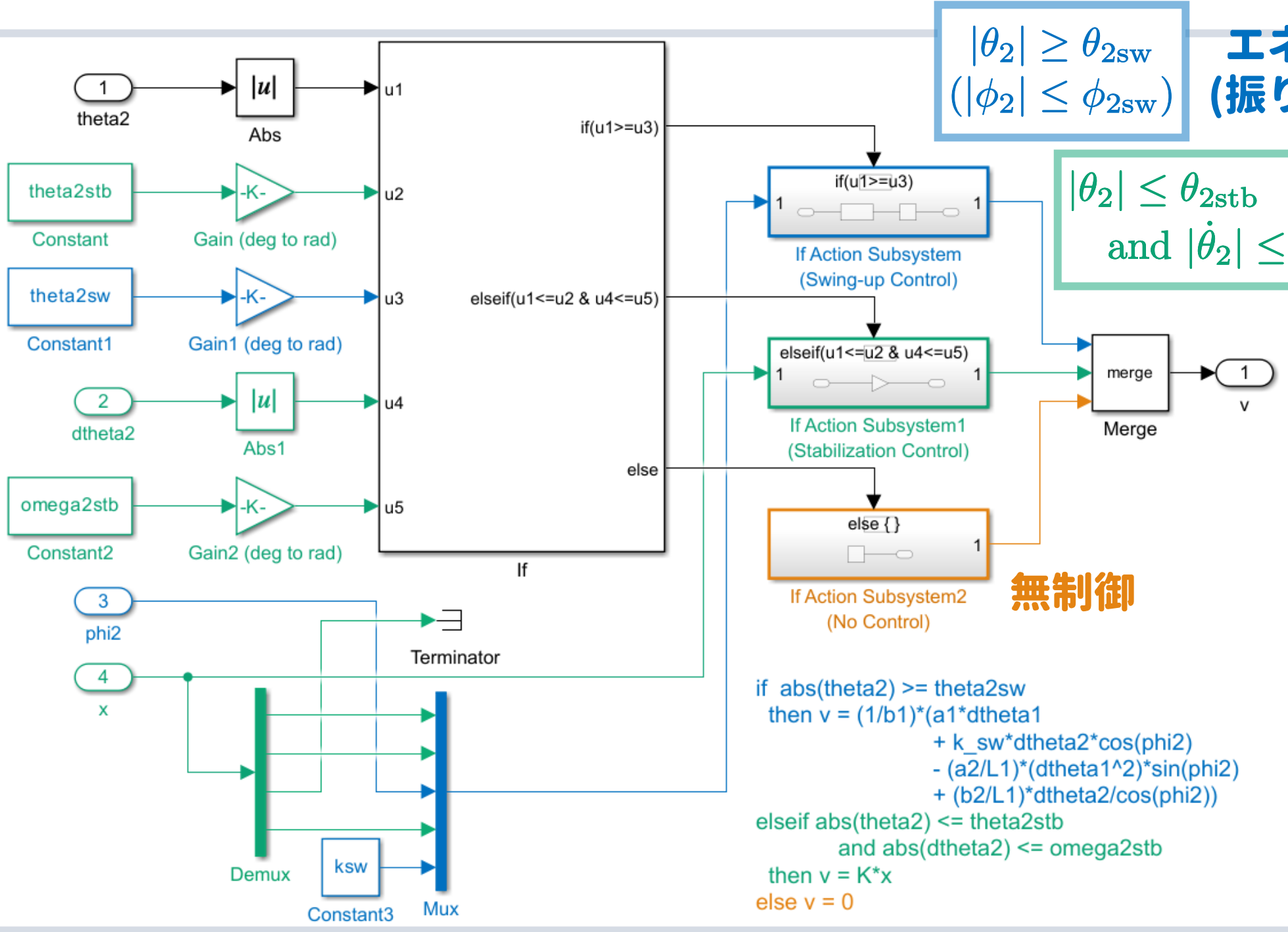


無制御

真上付近まで振り上がったときに  
振子の角速度が小さいのであれば  
安定化コントローラに切り替える







$$|\theta_2| \geq \theta_{2sw}$$
$$(|\phi_2| \leq \phi_{2sw})$$

エネルギー法  
(振り上げ領域)

$$|\theta_2| \leq \theta_{2stb}$$
$$\text{and } |\dot{\theta}_2| \leq \omega_{2stb}$$

LQR  
(安定化領域)

if abs(theta2) >= theta2sw  
then v = (1/b1)\*(a1\*dtheta1  
+ k\_sw\*dtheta2\*cos(phi2)  
- (a2/L1)\*(dtheta1^2)\*sin(phi2)  
+ (b2/L1)\*dtheta2/cos(phi2))  
elseif abs(theta2) <= theta2stb  
and abs(dtheta2) <= omega2stb  
then v = K\*x  
else v = 0

振子が真下にぶら下がった状態を  
基準とした力学的エネルギー

$$E = \frac{1}{2} J_2 \dot{\theta}_2^2 + m_2 g h > 0$$

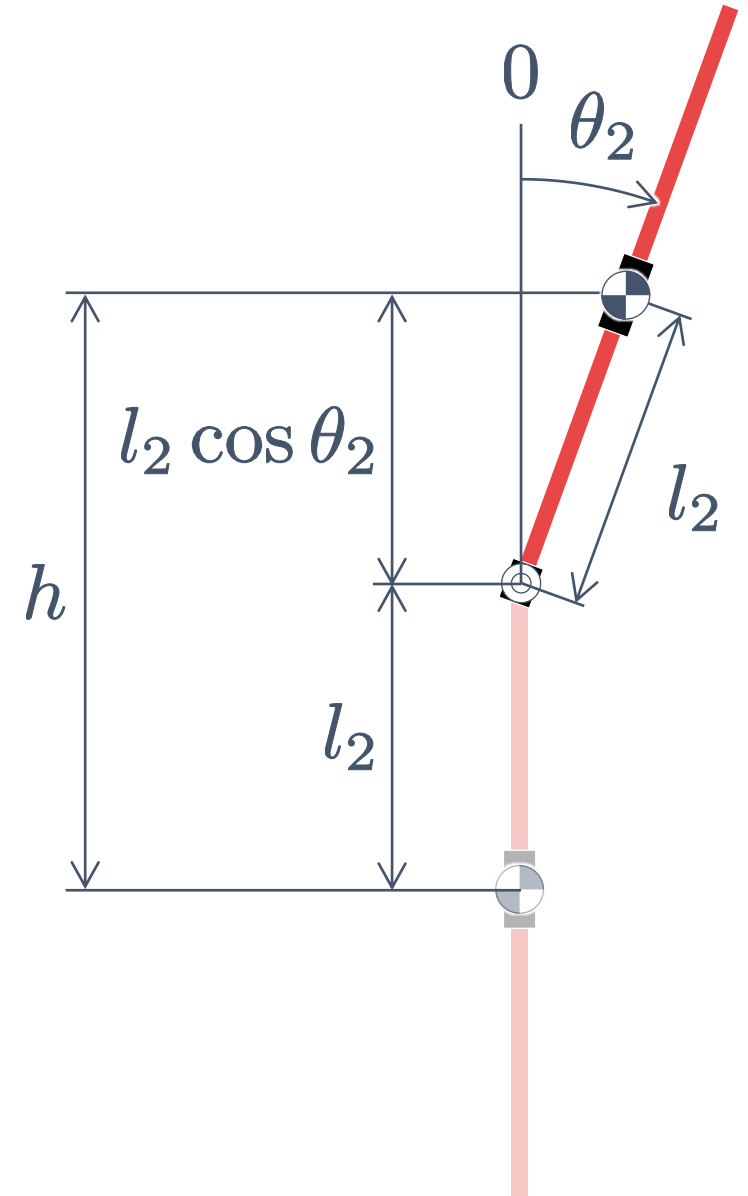
$(\theta_2 \neq \pm\pi \text{ and } \dot{\theta}_2 \neq 0)$

が**増大**するように指令電圧を加える！

➡ **時間微分**が

$$\dot{E} = \dot{\theta}_2 (J_2 \ddot{\theta}_2 - m_2 g l_2 \sin \theta_2) > 0$$

となるように**指令電圧を決定**！



## 回転型倒立振子の非線形モデル

$$\ddot{\theta}_1 = -\alpha_1 \dot{\theta}_1 + \beta_1 v$$

$$m_2 L_1 l_2 \cos \theta_2 \cdot \ddot{\theta}_1 + J_2 \ddot{\theta}_2 = J_2 \dot{\theta}_1^2 \sin \theta_2 \cos \theta_2 + m_2 g l_2 \sin \theta_2 - c_2 \dot{\theta}_2$$

振子が真下にぶら下がった状態を基準とした力学的エネルギー

$$E = \frac{1}{2} J_2 \dot{\theta}_2^2 + m_2 g h > 0$$

➡ **時間微分**

$$\begin{aligned} \dot{E} &= \dot{\theta}_2 (J_2 \ddot{\theta}_2 - m_2 g l_2 \sin \theta_2) \\ &= \dot{\theta}_2 \{ J_2 \dot{\theta}_1^2 \sin \theta_2 \cos \theta_2 - c_2 \dot{\theta}_2 - m_2 L_1 l_2 \cos \theta_2 \cdot (-\alpha_1 \dot{\theta}_1 + \beta_1 v) \} \\ &= k_{\text{sw}} m_2 L_1 l_2 (\dot{\theta}_2 \cos \theta_2)^2 > 0 \quad (\dot{\theta}_2 \neq 0 \text{ and } \cos \theta_2 \neq 0) \end{aligned}$$

となるように**指令電圧を決定！**

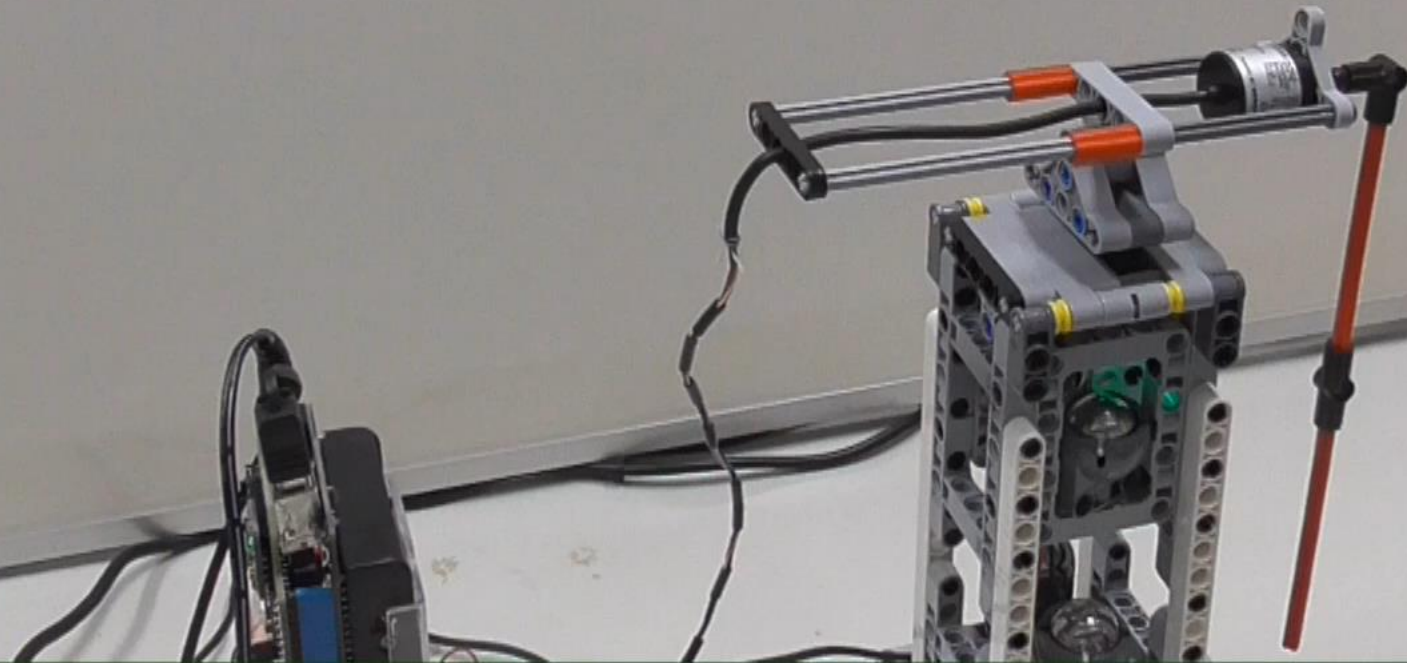
## 振り上げコントローラ

$$v = \frac{1}{\beta_1} \left( \alpha_1 \dot{\theta}_1 - k_{\text{sw}} \dot{\theta}_2 \cos \theta_2 + \frac{\alpha_2}{L_1} \dot{\theta}_1^2 \sin \theta_2 - \frac{\beta_2}{L_1} \frac{\dot{\theta}_2}{\cos \theta_2} \right)$$

$$\alpha_2 = \frac{J_2}{m_2 l_2}, \quad \beta_2 = \frac{c_2}{m_2 l_2}$$



# 回転型 LEGO 倒立振子の 振り上げ安定化制御



**このスライドは終了です。**